

عملکرد مقاوم و بهینه در کنترل کننده‌ی عصبی مدل مرجع با حل یک مسئله‌ی بهینه‌سازی مقید

حمیدرضا کوفی‌گر محمدرضا احمدزاده

دانشگاه صنعتی اصفهان - دانشکده برق و کامپیوتر

E-mail: koofigar@ec.iut.ac.ir

چکیده- در این مقاله، از یک الگوریتم مقاوم تطبیق پارامترها مبتنی بر خطای نرمالیزه جهت تطبیق وزنهای کنترل کننده‌ی عصبی استفاده و همگرایی آن با وجود سیگنال اختلال نشان داده می‌شود. در این روش، نرمالیزه کردن خطای با استفاده از یک ضریب متغیر انجام گردیده و اعمال شرایط مختلف از جمله شرایط لازم جهت همگرایی و سرعت پاسخ زمانی مطلوب، محدودیت در نحوه انتخاب این ضریب را مشخص می‌نماید.تابع هدف برای حل مسئله‌ی بهینه‌سازی مربuat خطای تعقیب، در سه حالت خطای لحظه‌ای، خطای انباشته‌ی سراسری و یک فرم پیشنهادی موسوم به خطای انباشته‌ی جزئی برای کاهش دامنه‌ی نوسانات سیگنال کنترل، معرفی می‌گردد. حل مسئله‌ی بهینه‌سازی با تابع هدف مربوطه و قید بدست آمده روی ضریب نرمالیزه‌کننده و مقاوم سیستم کنترل را بدست می‌دهد. نتایج شبیه‌سازی نشان می‌دهد که با استفاده از الگوریتم مقاوم پیشنهاد شده، پایداری سیستم حلقه بسته با وجود سیگنال اختلال و تغییرات پارامترهای سیستم بدست می‌آید؛ نقش ضریب نرمالیزه‌کننده و تغییرات آن در تعقیب بهینه‌ی مسیر مرجع و کاهش دامنه‌ی نوسانات سیگنال کنترل نیز با در نظر گرفتن توابع هدف مختلف نشان داده شده است.

کلید واژه- الگوریتم مقاوم تطبیق پارامترها، بهینه‌سازی مقید، خطای انباشته، خطای تعقیب نرمالیزه، کنترل کننده عصبی مدل مرجع

طرف دیگر، عدم در نظر گرفتن سیگنالهای اختلال و نیز تغییرات پارامترهای سیستم در مراحل طراحی باعث ایجاد پرش یا نوسانات گذرا یا ماندگار حول سیگنال مرجع گردد که معمولاً با توجه به محدوده‌ی مجاز خطای تعقیب و نیز محدودیتهای اعمال شده روی سیگنال کنترل قبل قبول نیست. در مواردیکه پارامترهای سیستم در محدوده‌ی وسیعی تعییر کنند و یا نرم سیگنال اختلال وارد شده به سیستم (نسبت به نرم سیگنالهای سیستم حلقه بسته) بزرگ باشد، روش اتخاذ شده برای تطبیق پارامترها برای سیستم نامی همگرا نشده و در نهایت به نایابیاری سیستم منجر می‌گردد. از روش‌های مؤثر در دستیابی به پایداری و عملکرد مقاوم و برآوردن اهداف کنترل با وجود نامعینی‌ها و اغتشاشات، استفاده از خطای تعقیب نرمالیزه شده در مکانیزم تعییق می‌باشد [۷].

تناظر موجود بین شرایط لازم برای قوانین تطبیق جهت تخمین پارامترها و لزوم همگرایی الگوریتمهای آموزش شبکه‌های عصبی باعث گردیده تا ایده‌های مطرح شده و

۱- مقدمه
هدف مهمی که در سیستمهای کنترل تطبیقی مطرح می‌گردد، تعقیب سیگنال مرجع با خطای قابل قبول در حالت گذرا و خطای صفر در حالت دائمی می‌باشد. نحوه دستیابی به این هدف، بدون حضور اختلال و نامعینی‌ها در مراجع مختلف از جمله در [۱] و [۲] آمده است. وجود تغییرات در پارامترهای سیستم و حضور اختلال در مورد سیستمهای واقعی باعث گردیده تا روش‌های استاندارد معرفی شده به صورتهای گوناگون اصلاح شوند تا برآورده شدن اهداف طراحی با وجود نامعینی‌ها و اغتشاشات نیز تضمین شود [۳] تا [۶].

سیستمهای کنترل تطبیقی به طور کلی شامل یک مکانیزم تطبیق پارامترها و یک قانون کنترل است. در روش‌های تطبیقی مستقیم که در این مقاله مورد نظر است، پارامترهای کنترل کننده توسط قانون تطبیق به روز می‌شوند. عملکرد سیستم حلقه بسته به مکانیزم تطبیق پارامترها و نیز ساختار کنترل کننده وابسته است [۱]. از

سیگنال اختلال، بردار θ^* تخمین زده شود. مدل تخمین به صورت زیر نوشته می‌شود:

$$\hat{z} = \theta^T \varphi \quad (3)$$

استفاده از الگوریتم گرادیان برای یافتن بردار تخمین $\hat{\theta} = [\hat{\theta}_1, \hat{\theta}_2, \dots, \hat{\theta}_n]^T$ ، نتیجه می‌دهد [۲]:

$$\hat{\theta} = \Gamma e \varphi \quad (4)$$

که در آن ماتریس $\Gamma > 0$ بهره‌ی تطبیق و e خطای تخمین را نشان می‌دهد و برابر است با:

$$e = z - \hat{z}$$

در تحلیل سیستمهای زمان پیوسته، پریود نمونه‌برداری T_s عددی خیلی کوچک اختیار می‌گردد تا بتوان همگرایی الگوریتم گرادیان را نشان داد، حال آنکه در عمل به دلیل محدودیت پهنای باند، کران پایینی برای T_s بدست می‌آید. باید توجه داشت که پهنای باند وسیع باعث کاهش مقاومت سیستم حلقه بسته نسبت به نویز و خطاهای مدل‌سازی می‌گردد. در قوانین تطبیق موسوم به هیبرید که در آن از خطای تخمین نرم‌الیزه استفاده می‌شود، رابطه‌ی بین Γ و T_s برای تضمین همگرایی الگوریتم بدست می‌آید. در ادامه به توصیف این الگوریتم و شرایط همگرایی آن می‌پردازیم.

۱-۲- قوانین تطبیق هیبرید

برای بدست آوردن بردار θ ، قانون تطبیق هیبرید به صورت زیر نوشته می‌شود:

$$\theta_{k+1} = \theta_k + \Gamma \int_{t_k}^{t_{k+1}} e_n(\tau) \varphi(\tau) d\tau, \quad \theta_0 = \theta(0) \quad (5)$$

که در آن $k = 0, 1, 2, \dots$. در واقع با الگوریتم فوق، دنباله‌ای از بردار تخمین مشابه زیر حاصل می‌گردد:

$$\hat{z}(t) = \theta_k^T \varphi(t) \quad \forall t \in [t_k, t_{k+1}] \quad (6)$$

که در آن $\hat{z}(t) = \theta(t_k)$. در رابطه‌ی (۵)، خطای تخمین نرم‌الیزه برابر است با:

$$e_n(t) = \frac{z(t) - \hat{z}(t)}{m^2(t)} \quad (7)$$

که $m(t)$ سیگنال نرم‌الیزه‌کننده بوده و در این مقاله به صورت زیر در نظر گرفته می‌شود:

$$m^2(t) = 1 + \alpha \varphi^T(t) \varphi(t), \quad \alpha > 0 \quad (8)$$

در ادامه ضمن تحلیل همگرایی الگوریتم معرفی شده برای آموزش شبکه‌ی عصبی، نقش ضریب نرم‌الیزه‌کننده α در تضمین همگرایی با وجود اختلالات وارد شده به سیستم نشان داده می‌شود.

پیشرفت‌های انجام گرفته در زمینه‌ی تخمین پارامترها با وجود اختلال و نامعینیهای سیستم، در نحوه‌ی آموزش شبکه‌ها نیز مورد استفاده قرار گیرد. با توجه به این ویژگی، در دو دهه اخیر شبکه‌های عصبی در پیاده‌سازی الگوریتمهای کنترل و از جمله سیستمهای کنترل مدل مرجع کاربرد وسیعی یافته‌اند [۸] و [۹].

هدف دیگری که در مورد مسئله‌ی تعییب مورد توجه قرار می‌گیرد، حداقل کردن مربعات خطای تعییب می‌باشد [۱۰] و [۱۱]. در این مقاله دستیابی به این هدف با استفاده از ضریب نرم‌الیزاسیون بهینه مورد نظر است. به طور کلی تابع هدف برای این مسئله به صورت زیر بیان می‌گردد:

$$J = \frac{1}{2} \sum_{k=1}^N [Q e^2(k) + R u^2(k)] \quad (1)$$

که $(\cdot)^e$ خطای تعییب و $(\cdot)^u$ سیگنال کنترل را نشان می‌دهد؛ ضرایب وزنی R و Q اهمیت کوچک بودن سیگنال کنترل و مربعات خطای تعییب را نسبت به هم نشان می‌دهند. با مشخص کردن حد بالای مجموع فوق یعنی عدد N و ضرایب R و Q ، مسئله‌ی بهینه‌سازی به صورتهای مختلف در می‌آید.

در بخش (۲)، یک الگوریتم مقاوم تطبیق پارامترها با استفاده از خطای تخمین نرم‌الیزه معرفی گردیده و همگرایی آن با وجود سیگنال اختلال نشان داده می‌شود. تعریف مسئله‌ی تعییب در سیستم کنترل عصبی مدل مرجع با خاصیت مقاوم و بهینه بودن پاسخ خروجی در بخش (۳) ارائه و حالات مختلفی که با انتخاب دقیق N بوجود می‌آید بررسی می‌شود. در بخش (۴)، شبیه‌سازی سیستم در حضور سیگنال اختلال و تغییرات در پارامترهای سیستم انجام و حالات مختلف بهینه‌سازی پاسخ با ضریب نرم‌الیزه‌کننده خطأ بررسی می‌گردد. در بخش (۵)، به مهمترین نتایج بدست آمده در مقاله اشاره می‌شود.

۲- قانون تطبیق پارامترها

یک مدل پارامتری با وجود اختلال v به صورت زیر قابل نمایش است:

$$z = \theta^* \varphi + v \quad (2)$$

که در آن θ^* بردار پارامترها و $\varphi = [\varphi_1, \varphi_2, \dots, \varphi_n]^T$ بردار رگرسیون شامل اندازه‌گیریهای ورودی- خروجی می‌باشد. مکانیزم تطبیق به گونه‌ای طراحی می‌گردد که با وجود

$$\begin{aligned} \Delta V(k) &\leq -2 \int_{t_k}^{t_{k+1}} e_n^2(\tau) m^2(\tau) d\tau \\ &+ 2 \int_{t_k}^{t_{k+1}} e_n(\tau) v(\tau) d\tau \\ &+ \frac{\gamma_m T_s}{\alpha} \int_{t_k}^{t_{k+1}} e_n^2(\tau) m^2(\tau) d\tau \end{aligned} \quad (12)$$

برای بدست آوردن شرایط همگرایی الگوریتم دو حالت مجزا در نظر می‌گیریم. در حالت اول مدل پارامتری (۲) بدون اختلال و در حالت دیگر با وجود سیگنال اختلال کراندار بررسی می‌گردد.

حالت (۱) بدون اختلال ($v(t) = 0$)

در این حالت رابطه (۱۲) به صورت زیر قابل بازنویسی است:

$$\Delta V(k) \leq -(2 - \frac{\gamma_m T_s}{\alpha}) \int_{t_k}^{t_{k+1}} e_n^2(\tau) m^2(\tau) d\tau$$

برای همگرایی الگوریتم لازم است $\Delta V(k) \leq 0$ برقرار باشد (تابع لیاپانف افزایشی نباشد). بنابراین شرط کافی برای رسیدن به این هدف برقراری رابطه زیر است:

$$\frac{\gamma_m}{\alpha} < \frac{2}{T_s}$$

با برقراری رابطه فوق، θ_k و $\tilde{\theta}_k$ سیگنالهایی کراندار و الگوریتم همگراست.

حالت (۲) وجود اختلال کراندار $. \|v(t)\| \leq D$

بازنویسی رابطه (۱۲) برای این حالت نتیجه می‌دهد:

$$\begin{aligned} \Delta V(k) &\leq - \int_{t_k}^{t_{k+1}} \left(e_n(\tau) m(\tau) - \frac{v(\tau)}{m(\tau)} \right)^2 d\tau \\ &- (1 - \frac{\gamma_m T_s}{\alpha}) \int_{t_k}^{t_{k+1}} e_n^2(\tau) m^2(\tau) d\tau \\ &+ \int_{t_k}^{t_{k+1}} \frac{v^2(\tau)}{m^2(\tau)} d\tau \end{aligned} \quad (13)$$

طبق نامساوی فوق، می‌توان شرط کافی برای جهت تضمین همگرایی الگوریتم و کراندار بودن سیگنالها را برقراری دو شرط زیر دانست:

(۱) پارامترهای γ_m ، α و T_s به نحوی انتخاب شوند که رابطه زیر برقرار گردد:

$$\frac{\gamma_m}{\alpha} \leq \frac{1}{T_s} \quad (14)$$

(۲) سیگنال نرمالیزه کننده ($m(t)$) به اندازه‌ی کافی بزرگ انتخاب گردد تا عبارت سوم در سمت راست نامساوی فوق، از مجموع دو عبارت دیگر کوچکتر باشد؛ این انتخاب با افزایش α در رابطه (۸) صورت می‌گیرد.

۲-۲- تحلیل همگرایی با وجود اختلال

در این بخش با انتخاب تابع لیاپانف زیر همگرایی الگوریتم هیبرید معرفی شده را بررسی می‌نماییم:

$$V(k) = \tilde{\theta}_k^T \Gamma^{-1} \tilde{\theta}_k$$

که در آن $\tilde{\theta}_k = \theta_k^* - \theta_k$. در ادامه، فرضیات زیر در نظر گرفته می‌شود:

۱- سیگنال نرمالیزه کننده طبق (۸) انتخاب می‌گردد.

۲- بزرگترین مقدار ویژه ماتریس Γ با γ_m نشان داده می‌شود.

۳- زمان نمونه‌برداری برابر است با $T_s = t_{k+1} - t_k$

تشکیل عبارت $\Delta V(k) = V(k+1) - V(k)$ بدست می‌دهد:

$$\Delta V(k) = (2\tilde{\theta}_k + \Delta\theta_k)^T \Gamma^{-1} \Delta\theta_k$$

که $\Delta\theta_k = \theta_{k+1} - \theta_k$. با استفاده از رابطه (۵) می‌توان عبارت فوق را بصورت زیر بازنویسی کرد:

$$\begin{aligned} \Delta V(k) &= 2\tilde{\theta}_k^T \int_{t_k}^{t_{k+1}} e_n(\tau) \phi(\tau) d\tau \\ &+ \left(\int_{t_k}^{t_{k+1}} e_n(\tau) \phi(\tau) d\tau \right)^T \Gamma \int_{t_k}^{t_{k+1}} e_n(\tau) \phi(\tau) d\tau \end{aligned} \quad (9)$$

همچنین روابط (۲)، (۳) و (۷) نتیجه می‌دهد:

$$e_n(t) m^2(t) = -\tilde{\theta}_k^T \phi(t) + v(t)$$

با توجه به اینکه γ_m بزرگترین مقدار ویژه ماتریس Γ است لذا داریم $\|\Gamma\| \leq \gamma_m$. بنابراین با توجه به رابطه (۹) می‌توان نوشت:

$$\begin{aligned} \Delta V(k) &\leq -2 \int_{t_k}^{t_{k+1}} e_n^2(\tau) m^2(\tau) d\tau \\ &+ 2 \int_{t_k}^{t_{k+1}} e_n(\tau) v(\tau) d\tau \end{aligned} \quad (10)$$

$$+ \gamma_m \left(\int_{t_k}^{t_{k+1}} |e_n(\tau) m(\tau)| \cdot \left| \frac{\phi(\tau)}{m(\tau)} \right| d\tau \right)^2$$

انتخاب سیگنال نرمالیزه کننده (۸) نتیجه می‌دهد:

$$\frac{\phi^T \phi}{m^2} \leq \frac{1}{\alpha} \quad (11)$$

برای بازنویسی نامساوی (۱۰) به فرم ساده‌تر، از نامساوی شوارتز یعنی

$$\left(\int f(\tau) g(\tau) d\tau \right)^2 \leq \int f^2(\tau) d\tau \cdot \int g^2(\tau) d\tau$$

استفاده می‌کنیم که بر این اساس می‌توان نوشت:

وجود نامعینیهای سیستم و اختلالات خارجی می‌تواند به واگرایی الگوریتم تطبیق و نهایتاً ناپایداری سیستم منجر شود. همانگونه که در بخش (۲) نشان داده شد، استفاده از خطای تخمين نرمالیزه در قانون تطبیق می‌تواند مقاوم بودن این الگوریتم را که برای به روز کردن وزنهای کنترل کننده عصبی به کار می‌رود تضمین کند. به طور خلاصه دو هدف زیر را به عنوان معیارهای مقاوم بودن می‌شناسیم:

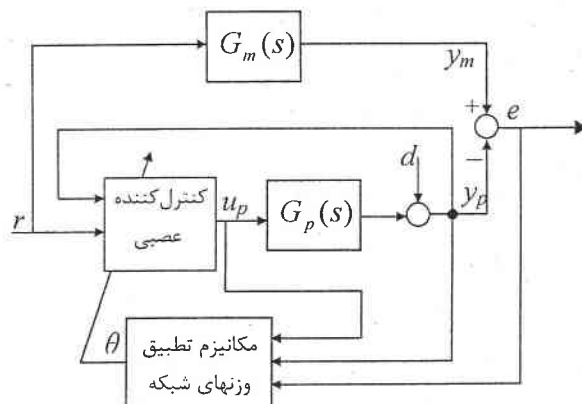
۱- همگرایی الگوریتم آموزش شبکه، کراندار بودن سیگنالها و پایداری سیستم حلقه بسته با وجود تغییرات در پارامترهای سیستم و اختلالات خارجی تضمین گردد.

۲- سیگنال u_p دارای بالازدگی و پرشهای ناگهانی نبوده و حتی امکان بدون نوسانات حول مسیر مرجع m نباشد. این پرسشها و نوسانات معمولاً در اثر دینامیکهای سیستم $G_p(s)$ و یا اختلالات وارد شده به سیستم رخ می‌دهد و ممکن است دامنه‌ی آنها بیش از حد مجاز باشد. محدودیتهای پیاده‌سازی و دامنه‌ی مجاز سیگنالها برای اعمال به حرکتها در کاربردهای مختلف از عوامل تعیین‌کننده‌ی این محدودیتها می‌باشد. همانگونه که در بخش (۲-۲) اشاره شد برای همگرایی الگوریتم و برآورده شدن معیارهای مقاوم بودن پاسخ خروجی لازم است در هر بازه‌ی زمانی، مقدار α از یک کران پایین L بزرگ‌تر باشد. از طرف دیگر، انتخاب α ‌های بزرگ نیز سرعت پاسخ زمانی سیستم را کاهش می‌دهد لذا یک کران بالای U برای این ضریب در نظر گرفته می‌شود. بنابراین در هر بازه‌ی $[t_k, t_{k+1}]$ محدودیت زیر را داریم:

$$L_k \leq \alpha_k \leq U_k \quad (15)$$

۲-۳ تابع هدف برای بهینگی پاسخ مسئله‌ی تعییب

حل مسئله‌ی بهینه سازی مقید با تابع هدف کلی (۱) و قید (۱۵) پاسخ بهینه را بدست می‌دهد. همانگونه که در گذشته اشاره گردید، با انتخاب دقیق N , Q و R در (۱)، بهینه بودن مسیر تعییب بدست آمده از کنترل کننده‌ی عصبی مدل مرجع تعابیر متفاوتی دارد. در ادامه، تابع هدف به صورت خطای لحظه‌ای و نیز خطای انباشته‌ی سراسری در نظر گرفته شده و سپس یک فرم پیشنهادی موسوم به خطای انباشته‌ی جزئی به عنوان تابع هدف ارائه و مزیت آن نسبت به حالات قبلی بیان می‌شود.



شکل (۱): ساختار کلی کنترل کننده عصبی مدل مرجع

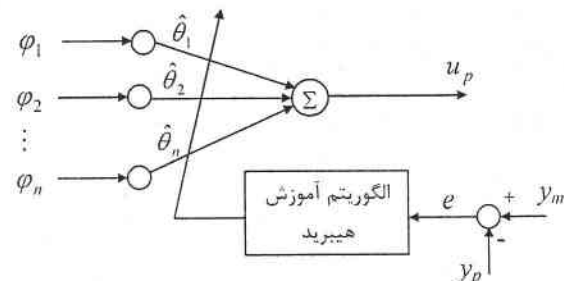
۳-۱ تعریف مسئله‌ی تعییب با ویژگیهای مقاوم و بهینه بودن پاسخ

ساختار کلی یک سیستم کنترل تطبیقی مدل مرجع با کنترل کننده‌ی عصبی در شکل (۱) نشان داده شده است. سیگنال کنترل u_p که توسط کنترل کننده‌ی عصبی تولید می‌شود چنان است که خروجی u_p بتواند مسیر m را که توسط مدل مرجع $G_m(s)$ تولید می‌شود را تعییب کند.

برای تولید سیگنال u_p به نحو مطلوب، لازم است وزنهای شبکه توسط یک الگوریتم آموزش، به روز شوند. ساختار کلی شبکه‌ی مربوط به کنترل کننده و مکانیزم تنظیم وزنهای آن در شکل (۲) ترسیم گردیده است.

۳-۲ مقاوم بودن الگوریتم آموزش

عملکرد سیستم حلقه بسته به ساختار کنترل کننده‌ی عصبی و قانون آموزش به کار رفته در مورد آن بستگی دارد. به طور کلی هدف در سیستم کنترل تطبیقی مدل مرجع آن است که کنترل کننده و قانون تطبیق پارامترها که در اینجا وظیفه‌ی آموزش وزنهای شبکه را به عهده دارد به گونه‌ای طراحی شوند که اولاً تمام سیگنالهای سیستم حلقه بسته شکل (۱) کراندار بوده و ثانیاً خروجی u_p سیگنال مرجع m را با یک خطای تعییب مجاز تعییب کند.



شکل (۲): تطبیق وزنهای شبکه با الگوریتم آموزش هیبرید

$$J_{PA} = \frac{1}{2} \left(\sum_{k=1}^{n_1} [Q e^2(k) + R u_p^2(k)] \right. \\ \left. + \sum_{k=n_1+1}^{n_2} [Q e^2(k) + R u_p^2(k)] \right. \\ \left. + \dots + \sum_{k=n_2+1}^{N_s} [Q e^2(k) + R u_p^2(k)] \right) \quad (18)$$

با توجه به تابع هدف معروفی شده، کل بازه‌ی مورد نظر برای k از ۱ تا N_s به زیر بازه‌های متعدد افزار می‌گردد. یعنی $[1 \ N_s] = [1 \ n_1] \cup [n_1+1 \ n_2] \cup \dots \cup [n_t+1 \ N_s]$ در مسئله بهینه‌سازی مقید، ضریب نرمالیزاسیون α_k برای یافتن پاسخ بهینه در هر یک از زیر بازه‌های مربوطه محاسبه می‌شود. تعداد زیر بازه‌ها با توجه به کاربرد الگوریتم در موارد مختلف، متفاوت بوده و توسط طراح مشخص می‌گردد. مزیت اتخاذ تابع هزینه‌ی معروفی شده بر روی روش قبلی آن است که می‌توان با انتخاب مناسب تعداد زیر بازه‌های بهینه‌سازی، هر دو شرط محدودیت بر روی سیگنال کنترل و سرعت پاسخ زمانی مناسب را بدست آورد.

۴- نتایج شبیه‌سازی

در این بخش، بهینه‌سازی مسئله‌ی تعقیب در سیستم کنترل عصبی مدل مرجع با در نظر گرفتن توابع هدف معروفی شده در بخش (۳) و استفاده از الگوریتم آموزش هیبرید انجام می‌گیرد. بدین منظور، بردار رگرسیون مشابه آنچه در مرجع [۷] آمده است اتخاذ گردیده و شبیه‌سازی برای یک سیستم مرتبه‌ی دو به فرم زیر انجام می‌گیرد:

$$G_p(s) = \frac{s + z_0}{(s + p_0)(s + p_1)}$$

مدل مرجعی که برای تولید مسیر مرجع y_m در نظر گرفته می‌شود به صورت زیر است:

$$G_m(s) = \frac{0.5}{s + 0.5}$$

شکل (۱) را در نظر بگیرید. سیگنال اختلال به صورت $d(t) = 5 + 5\sin(0.02t)$ و پریود نمونه‌برداری برابر ۱/۰ ثانیه انتخاب می‌شود. ورودی سیستم به صورت $r(t) = 4\sin(2t)$ بوده و فرایند (s) به صورت زیر مشخص می‌گردد:

$$z_0 = 2, p_0 = 1, p_1 = 0.02(1 + \sin 0.02t)$$

با در نظر گرفتن (۱۶) به عنوان تابع هدف برای بدست آوردن پاسخ بهینه و اعمال محدودیت (۱۵) پاسخ سیستم

۱-۲-۳- خطای لحظه‌ای

با انتخاب $N = 1$, $t_k = 1$ و $R = 0$ تابع هدف به صورت زیر در می‌آید:

$$J_f(k) = \frac{1}{2} e^2(k) \quad (16)$$

که در آن $e(k) = y_m(k) - y_p(k)$. با انتخاب تابع فوق که به خطای لحظه‌ای موسوم است. هدف یافتن ضریب α_k در هر بازه زمانی $[t_k \ t_{k+1}]$ به گونه‌ای است که $J_f(k)$ در آن بازه حداقل گردد. تغییرات α_k از بازه‌ای به بازه دیگر باعث می‌گردد که ورودی کنترل u با دامنه بیش از حد مجاز تولید شود و یا دارای پرشهای ناگهانی باشد. در این حالت هیچ کنترلی بر روی نوسانات بوجود آمده بر روی سیگنال کنترل و در نهایت سیگنال خروجی وجود ندارد. این امر انگیزه‌ی مطرح کردن فرم دیگری از تابع هدف است که در ادامه به آن اشاره می‌شود.

۲-۲-۳- خطای انباسته‌ی سراسری

در این حالت حد بالای مجموع خطای با توجه به زمان نشست سیستم یا زمانیکه پاسخ به حالت دائمی رسیده است تنظیم می‌شود یعنی

$$J_A = \frac{1}{2} \sum_{k=1}^{N_s} [Q e^2(k) + R u_p^2(k)] \quad (17)$$

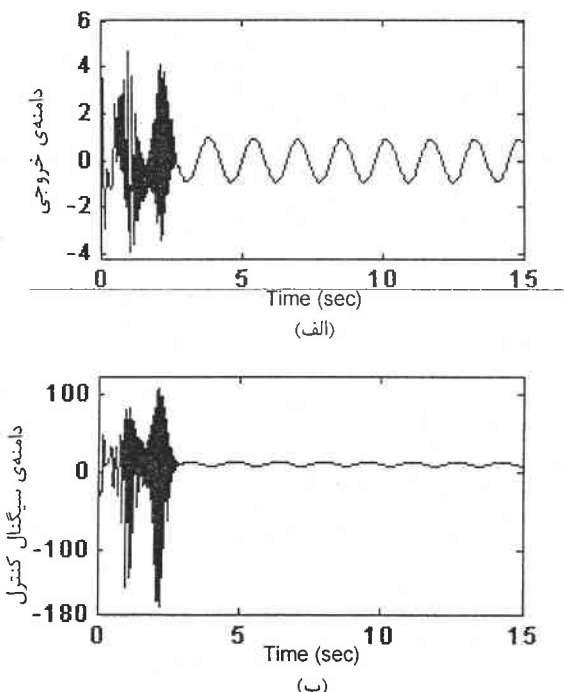
که در آن N_s زمانی مربوط به بعد از رسیدن پاسخ به حالت دائمی می‌باشد. با انتخاب تابع هدف فوق برای مسئله بهینه‌سازی، برای سراسر مسیر یک α بهینه یافت می‌شود و آموزش شبکه با این ضریب انجام می‌گیرد. در این حالت، به دلیل امکان انتخاب مناسب Q و R که به ترتیب، اهمیت کوچک بودن خطای تعقیب و سیگنال کنترل را نشان می‌دهد، پاسخ سیستم دارای پرشهای شدید نیست ولی نوسانات حول مسیر مرجع ممکن است تا مدت زمان طولانی‌تری نسبت به حالت قبلی تداوم داشته باشد؛ به عبارت دیگر سرعت پاسخ زمانی سیستم کاهش می‌یابد. تابع هدفی که در ادامه پیشنهاد می‌گردد می‌تواند علاوه بر مزیت انتخاب تابع هدف (۱۷)، سرعت پاسخ زمانی سریعتری بدست دهد.

۳-۲-۳- خطای انباسته‌ی جزئی

تابع هدفی که در این مقاله برای حل مسئله و یافتن ضریب نرمالیزاسیون بهینه پیشنهاد می‌گردد به صورت زیر است:

مطابق با آنچه در بخش (۲-۳) بیان شد، برای اعمال محدودیت روی سیگنال کنترل،تابع هدف (۱۷) را با اختبار $Q=1$ و $R=0.2$ در نظر گرفته و پاسخ سیستم را بدست می‌آوریم. پاسخ بهینه‌ی خروجی به ازای $\alpha=0.01$ بدست می‌آید که شکل (۴) ترسیم گردیده است. با توجه به اینکه در این حالت، محدودیت روی سیگنال کنترل نیز اعمال گردیده، طبق شکل (۴-الف) پاسخ در حالت گذرا نوسان بیشتری نسبت به حالت قبل داشته ولی در حالت دائمی بهبود یافته است. شکل (۴-ب) نیز تغییرات سیگنال کنترل را نشان می‌دهد که با توجه به آن، نوسانات تنها در حالت گذرا مشاهده می‌گردد و تداوم نوسانات در حالت دائمی از بین رفته است.

با در نظر گرفتن (۱۸) با $Q=1$ و $R=0.2$ به عنوان تابع هدف و افزار بازه‌ی زمانی [۱۵] ثانیه به بازه‌هایی به طول 10 ثانیه، پاسخ خروجی مطابق شکل (۵) بدست می‌آید. به عبارت دیگر، مقدار α_k بهینه برای بازه‌های 10 مرحله‌ای از اجرای الگوریتم آموزش محاسبه و در سراسر آن بازه اعمال می‌گردد. با توجه به شکل (۵-الف) پاسخ خروجی از نظر دائمی نوسانات نسبت به حالت قبل بهبود یافته و علاوه بر این، شکل (۵-ب) کاهش چشمگیر دائمی نوسانات سیگنال کنترل را نسبت به هر دو حالت قبل نشان می‌دهد.



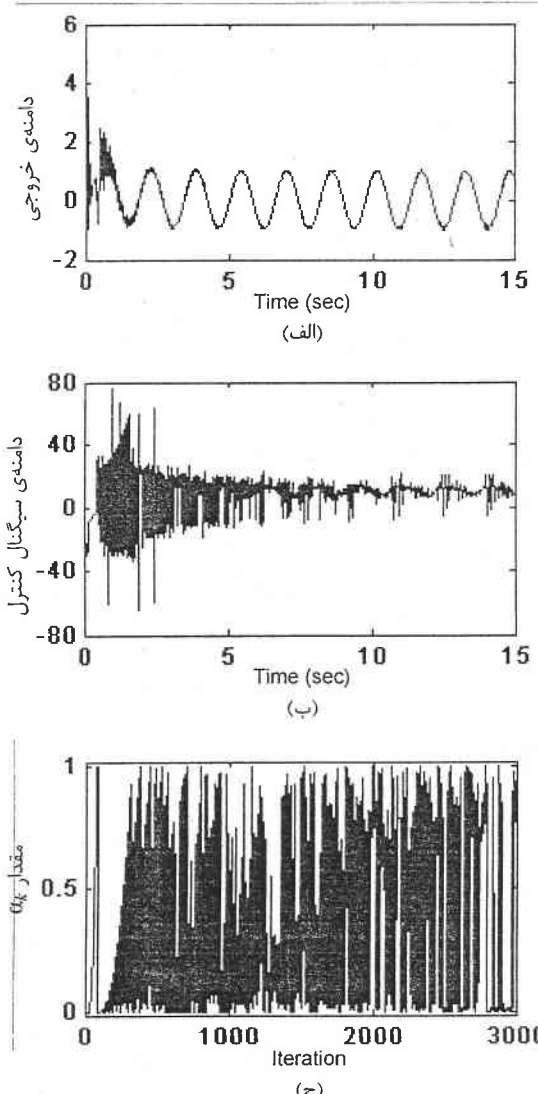
شکل (۴): پاسخ مسئله بهینه‌سازی با تابع هدف خطای انباشته سراسری

الف- پاسخ خروجی u_r

ب- سیگنال کنترل u_c

مشابه شکل (۳) آمده است.

مطابق شکل (۳-الف)، سیستم با سرعت مناسب و خطای کم مسیر مرجع سینوسی را دنبال کرده است ولی همانگونه که در شکل (۳-ب) نشان داده شده، سیگنال کنترل u_c دارای پرشهای مدام و نوسانات با دامنه‌ی زیاد می‌باشد که در عمل قابل قبول نیست. علت این پدیده، تغییرات سریع ضریب نرمالیزاسیون α_k از بازه‌ای به بازه‌ی دیگر می‌باشد که در شکل (۳-ج) ترسیم گردیده است. مطابق شکل، کران بالا و پایین در (۱۵) برای α_k به ترتیب مقدار $1 = U_k$ و $L_k = 0$ انتخاب شده است.



شکل (۳): پاسخ مسئله بهینه‌سازی با تابع هدف خطای تعییب لحظه‌ای

الف- پاسخ خروجی u_r

ب- سیگنال کنترل u_c

ج- تغییرات ضریب α_k بر حسب مرحله‌ی اجرای الگوریتم آموزش

الگوریتم تطبیق مورد توجه قرار گرفت. تابع هدف در مسئله‌ی بهینه‌سازی مقید مربوطه در سه حالت متفاوت معرفی و مزیتهای هر مورد بیان گردید. شیوه‌سازی‌های انجام شده، نقش نوع تابع هدف تعریف شده در میزان نوسانات و پرشهای موجود در پاسخ سیستم و سیگنال کنترل را نشان می‌دهد. تابع هدف پیشنهادی که به صورت خطای انباسته‌ی جزئی در نظر گرفته شد، باعث کاهش قابل توجه در دامنه‌ی نوسانات سیگنال کنترل گردید.

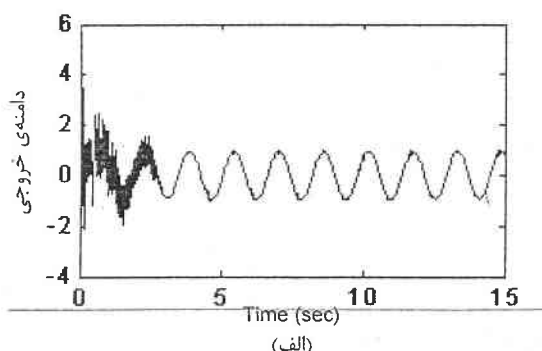
مراجع

- [1] G. C. Goodwin and K. S. Sin, *Adaptive Filtering Prediction and Control*. Englewood Cliffs, NJ: Prentice-Hall, 1984.
- [2] A. S. Sastry and M. Bodson, *Adaptive Control: Stability, Convergence and Robustness*. Englewood Cliffs, NJ: Prentice-Hall, 1989.
- [3] Z. Qu, J. F. Dorsey and D.M. Dawson, "Model Reference Robust Control of a Class of SISO Systems", *IEEE Trans. Automat. Contr.*, vol. 39, no. 11, pp. 2219-2234, 1994.
- [4] N. Barabanov, R. Ortega and A. Astolfi, "Is Normalization Necessary for Stable Model Reference Adaptive Control?", *IEEE Trans. Automat. Contr.*, vol. 50, no. 9, pp. 1384-1390 Sep. 2005.
- [5] M. Fukumoto, H. Kubota and S. Tsujii, "Improvement in Stability and Convergence Speed on Normalized LMS Algorithm", in *proc. IEEE Int. Symp. On Circuits and systems*, 1995, pp. 1243-1246.
- [6] T. Tsao and P. A. Ioannou, "On the Stability Proof of Adaptive Schemes with Static Normalizing Signals and Parameter Projection", *IEEE Trans. Automat. Contr.*, vol. 38, no. 1, pp. 170-173, Jan. 1993.
- [7] P. A. Ioannou and J. Sun, *Robust Adaptive Control*, NJ: Prentice-Hall, 1996.
- [8] S. Kamalasadan and A. A. Ghandakly, "A Neural Network Based Intelligent Model Reference Adaptive Controller", in *Proc. IEEE int. conf. on Computational Intelligence for Measurement Systems and Applications*, Boston, MA, 2004, pp. 174-179.
- [9] J. Li, Y. Mizukami, Y. Wakasa and K. Tanaka, "Intelligent Control for Pneumatic Servo System", in *Proc. SICE Annual Conference*, Fukui, 2003, pp. 3193-3198.
- [10] Y. M. Park, M.S. Choi and K. Y. Lee, "An Optimal Tracking Neuro-Controller for Non-linear Dynamic Systems", *IEEE Trans. Neural Networks*, vol. 7, no. 5, pp. 1099-1110, 1996.
- [11] L. Yan and J. Xu, "Tracking Performance Improvement of a Model Reference Robust Control", in *Proc. 43rd IEEE Conf. on Decision and Control*, Paradise Island, Bahamas, Dec. 2004, pp. 189-194.

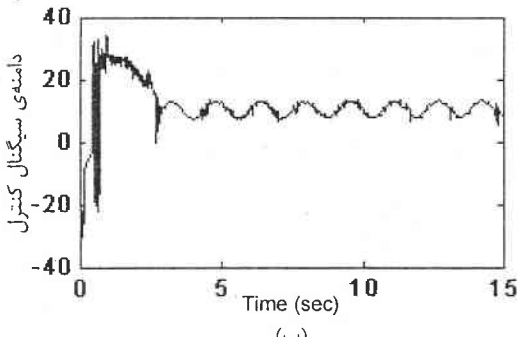
در واقع، تغییرات α_k پس از بازه‌های زمانی افزایش شده و تشیب آن در طول بازه‌ها طبق شکل (۵-ج)، باعث کاهش دامنه نوسانات در سیگنال کنترل گردیده است.

۵-نتیجه‌گیری

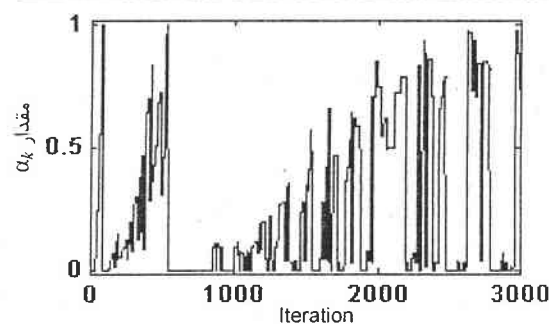
در این مقاله، ابتدا یک الگوریتم تطبیق هیبرید جهت به روز کردن وزنهای کنترل کننده‌ی عصبی مدل مرجع ارائه گردید. ضریب متغیری که خطای تخمین را نرم‌الیزه کرده و در اختیار الگوریتم قرار می‌دهد مقاوم بودن الگوریتم نسبت به اختلالات و نامعینی‌های سیستم را تضمین می‌کند. سپس بهینه‌سازی پاسخ سیستم کنترل عصبی مدل مرجع با اعمال محدودیت روی ضریب نرم‌الیزاسیون متغیر به کار رفته در



(الف)



(ب)



(ج)

شکل(۵): پاسخ مسئله‌ی بهینه‌سازی با تابع هدف خطای انباسته‌ی جزئی
الف- پاسخ خروجی u_p

ب- سیگنال کنترل

ج- تغییرات ضریب α_k در بازه‌های افزایش شده به طول ۱/۰ ثانیه
۱۰ مرحله از اجرای الگوریتم آموزش